

# Hauptkomponentenanalyse

(Principal Component Analysis, PCA)

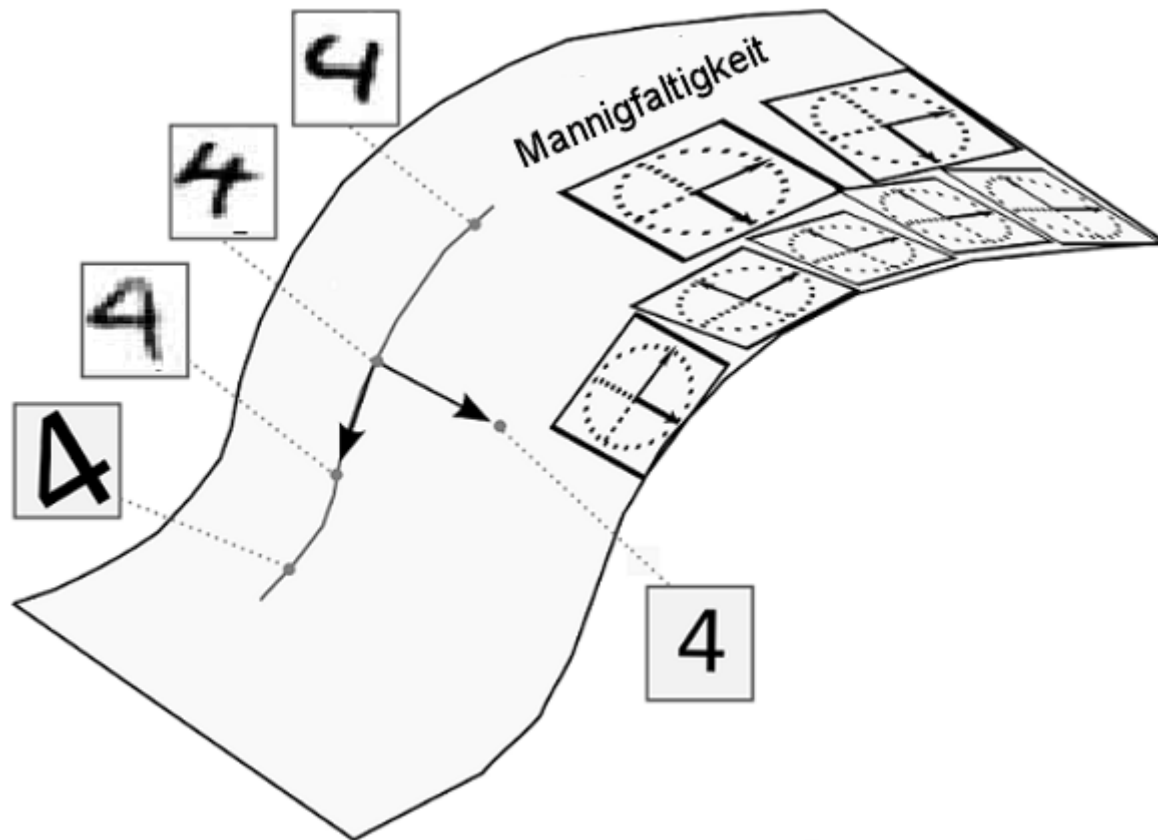
**vs.**

# Denoising Variational Autoencoders

*an Hand von Beispielen*

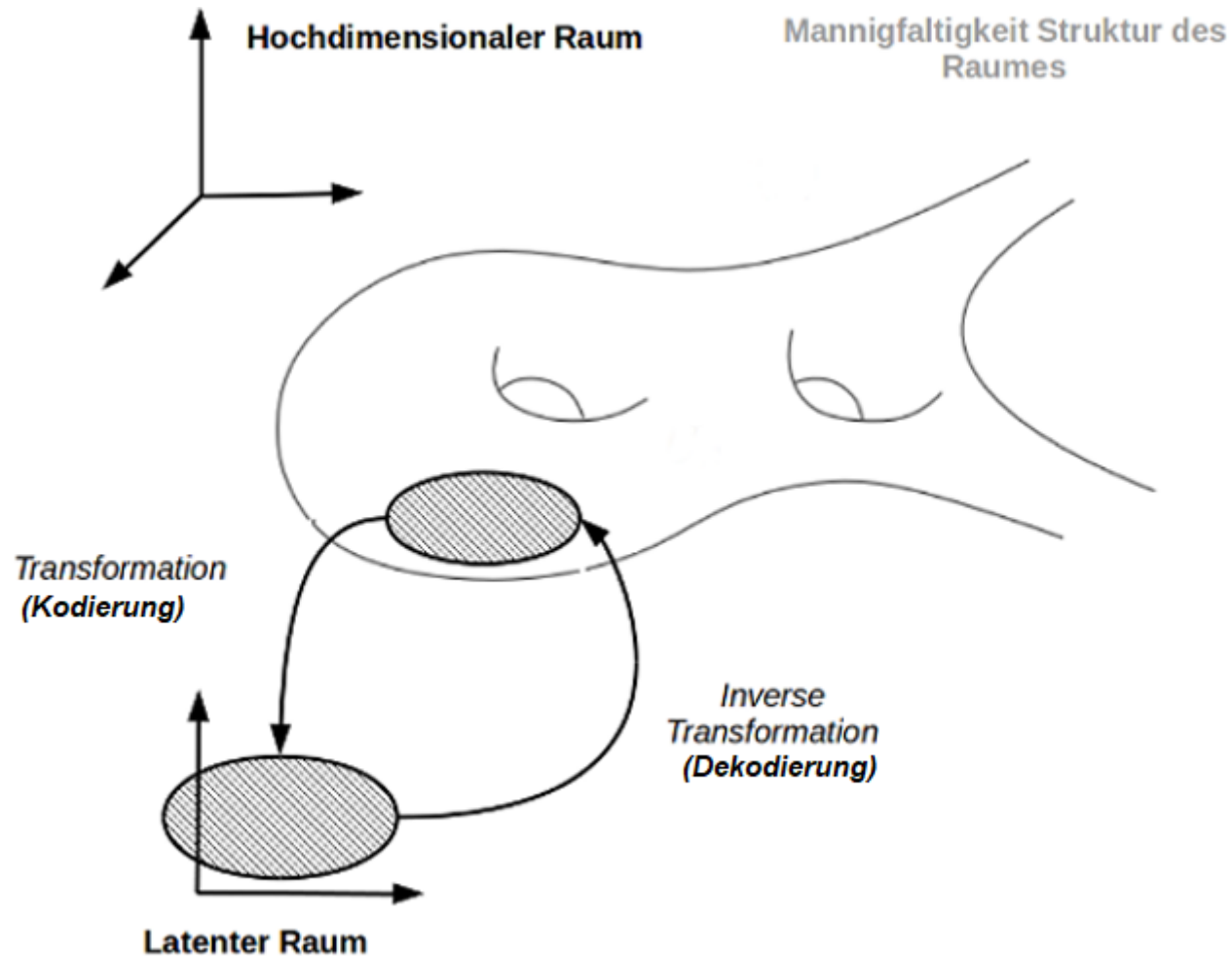
# Eine intuitive Perspektive ...

"... realistische, hochdimensionale Daten konzentrieren sich in der Nähe einer nichtlinearen, niedrigdimensionalen Mannigfaltigkeit ..." [Lei et al., 2018]



# Eine intuitive Perspektive ...

Aber wie lernt man die Mannigfaltigkeit und die Wahrscheinlichkeitsverteilung darauf?



# PCA vs. DVAE an Hand von Beispielen

# PCA vs. DVAE an Hand von Beispielen

Der MNIST (Modified National Institute of Standards and Technology) Datensatz von handgeschriebenen Zahlen besteht aus 60,000 Trainings- und 10,000 Test-Beispielen. Die Zahlen wurden hinsichtlich Ihrer Größe normalisiert und in einem Bild fester Größe zentriert.

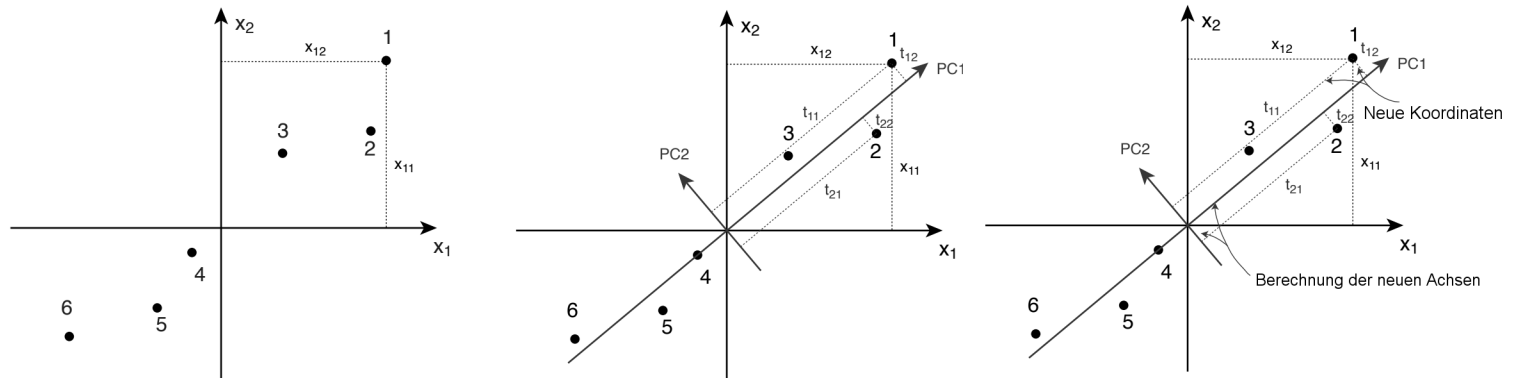


# **Vorstellung der Wettbewerber**

**PCA**

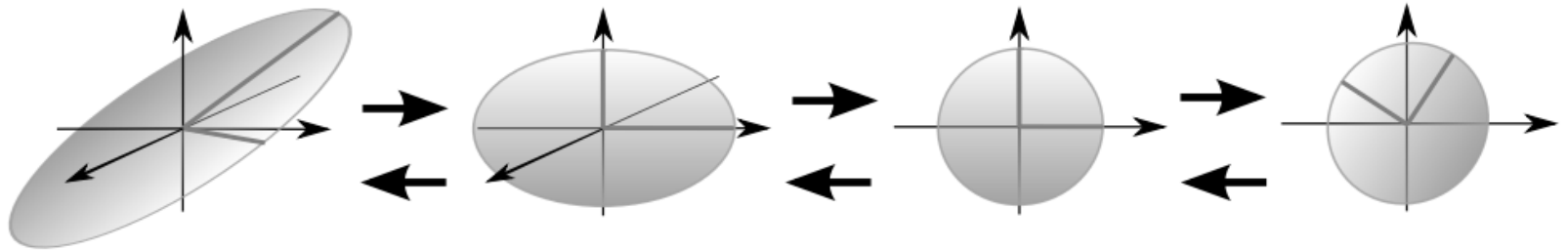
# PCA

- Unüberwachtes Lernen
- Lineare Transformation



- "Transformiere" eine Menge von Beobachtungen in ein **anderes Koordinatensystem**, in dem die Werte der ersten Koordinate (Komponente) die **größtmögliche Varianz** aufweisen [Friedman et al., 2017]
- Die **resultierenden Koordinaten (Komponenten)** sind **nicht** mit den ursprünglichen Koordinaten **korreliert**

# PCA



- Wird zur **Dimensions-Reduzierung** genutzt (Komprimierung)
- Die **Rekonstruktion der Beobachtungen** ("decoding") aus den führenden **Hauptkomponenten** hat den **niedrigsten quadratischen Fehler**

# **Autoencoders**

# Autoencoders

- unüberwachtes **neuronales Netz**
- **minimiert** den Fehler zwischen Rekonstruktionen und Beobachtungen [Goodfellow et al., 2016]
- lernt die **Identitätsfunktion**
- wird mit Hilfe von **Fehlerrückführung (Backpropagation)** trainiert
- aufgetrennt um **Kodierung und Dekodierung**

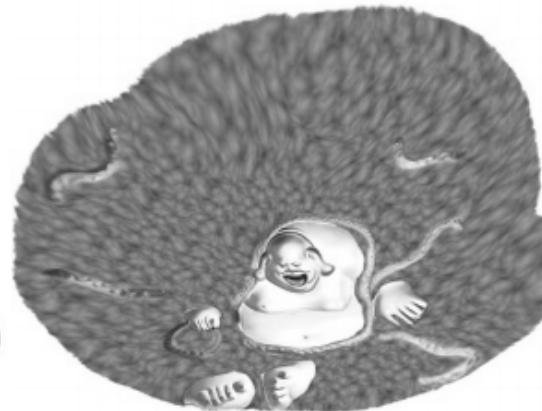
# Autoencoders

Das folgende Schaubild zeigt eine typische **Autoencoder Pipeline**

**Mannigfaltigkeit Eingabe**



**Rekonstruierte Mannigfaltigkeit**



**Latenter Raum**

# **PCA vs. Autoencoders**

**Implementierung**

```
In [ ]: # we use Keras to implement, Layer-by-Layer the DVAE and PCA
from keras.layers import Input, Dense, Lambda
from keras.models import Model
from keras import backend as K
from keras import metrics
from keras.datasets import mnist
from keras.layers import Dense, Dropout, Flatten
from keras.layers import Conv2D, MaxPooling2D
from keras.layers import Conv2DTranspose, Reshape
from sklearn.decomposition import PCA
```

# Experiment Parametrierung

```
In [ ]: # training params for PCA vs. DVAE
num_train = 50000
n_images = 6
batch_size = 205
original_dim = 784
latent_dim = 8
epochs = 1000
epsilon_std = 1.0
noise_factor = 0.5
```

```
In [ ]: # get the MNIST digits
(x_train, y_train), (x_test, y_test) = mnist.load_data()
# prepare data for PCA
# training
x_test_pca = x_test
shape_x_test = x_test_pca.shape
pcaInputTest = np.reshape(x_test, [shape_x_test[0], shape_x_test[1]*shape_x_test[2]]).astype('float32')/255
# prepare data for DVAE
x_train = x_train.astype('float32') / 255.
x_test = x_test.astype('float32') / 255.
x_train = x_train.reshape((len(x_train), 28,28,1))
x_test = x_test.reshape((len(x_test), 28,28,1))
noise_train = x_train + noise_factor * np.random.randn(*x_train.shape)
noise_test = x_test + noise_factor * np.random.randn(*x_test.shape)
# clip the images to be between 0 and 1
noise_train = np.clip(noise_train, 0., 1.)
noise_test = np.clip(noise_test, 0., 1.)
```



# Grundlegende Mathematik der PCA

## Lineare Transformation

Es sei  $\{y_i\}_{i=1}^N$  eine Menge von  $N$  Beobachtungs-Vektoren der Dimension  $n$  mit  $n \leq N$ .

Eine **lineare Transformation** eines **endlich-dimensionalen** Vektors kann als **Matrix Multiplikation** ausgedrückt werden:

$$x_i = W y_i$$

mit  $y_i \in R^n$ ,  $x_i \in R^m$  und  $W \in R^{n \times m}$ .

## Lineare Transformation

- Das  $j$  – te Element in  $x_i$  ist das **Innere Produkt** von  $y_i$  und der  $j$  – ten Spalte der Matrix  $W$ , welche wir durch  $w_j$  bezeichnen. Es sei  $Y \in R^{n \times N}$  die Matrix, welche wir durch horizontale Aneinanderreihung der Vektoren  $\{y_i\}_{i=1}^N$  erhalten,

$$Y = \begin{bmatrix} | \dots | \\ y_1 \dots y_N \\ | \dots | \end{bmatrix}$$

- Aus der **linearen Transformation** folgt:

$$X = W^T Y, X_0 = W^T Y_0,$$

wobei  $Y_0$  die **Matrix der zentrierten Elemente** (d.h. wir subtrahieren den Mittelwert von jeder Beobachtung) bezeichnet, und **Kovarianzmatrix**  $Y_0 Y_0^T$ .

## Dimensionsreduzierung, Komprimierung

PCA wird zur **Dimensions-Reduktion** verwendet, da sie durch die durch eine lineare Transformation die **Anzahl der Variablen reduziert**.

Da nur die ersten  **$m$  Hauptkomponenten erhalten** werden, **verliert PCA information** (d.h. **verlustreiche Komprimierung**).

Der **Verlust** ( *Summe des quadratischen Rekonstruktions-Fehlers* ) wird jedoch durch die **Maximierung der Komponenten-Varianzen minimiert**

$$\min_{W \in \mathbb{R}^{n \times m}} \|Y_0 - WW^T Y_0\|_F^2, W^T W = I_{m \times m}$$

wobei  $F$  die Frobenius-Norm bezeichnet.

## Skalierung

Zur Berechnung der PCA können viele verschiedene **iterative Algorithmen** eingesetzt werden

- QR Algorithmen
- Jacobi Algorithmus
- Power methode
- Singulärwert-Zerlegung (Singular Value Decomposition, SVD)

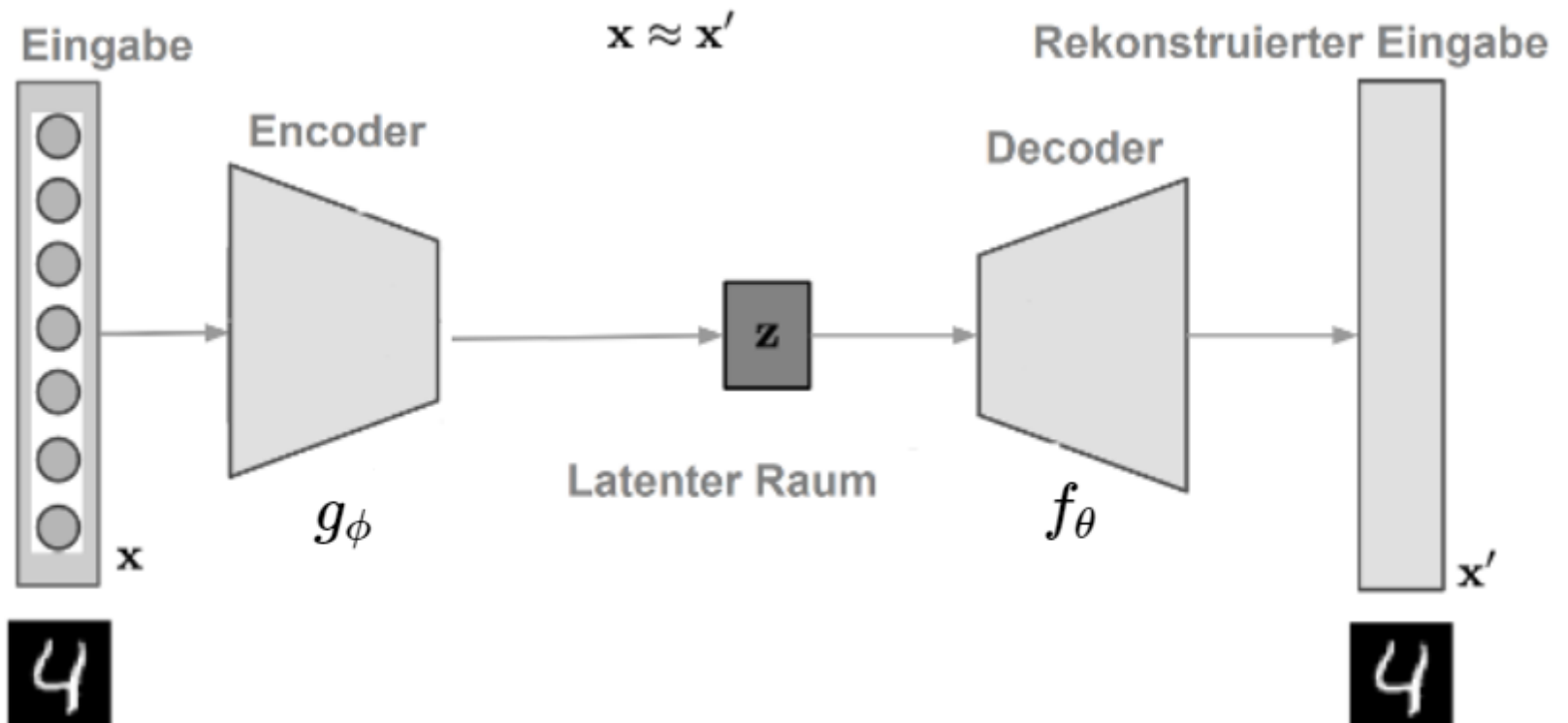
Für **sehr große Datenmengen** eignen sich diese Algorithmen **nicht!**

```
In [ ]: # analytical PCA of the training set
def analytical_pca(y):
    # variance to explain
    pca = PCA(0.7)
    # apply PCA
    pca.fit(y)
    # extract the components
    loadings = pca.components_
    # apply the transformation
    components = pca.transform(y)
    # reconstruct from components for visualization
    filtered = pca.inverse_transform(components)
    return filtered
```

# Grundlegende Mathematik der Autoencoder

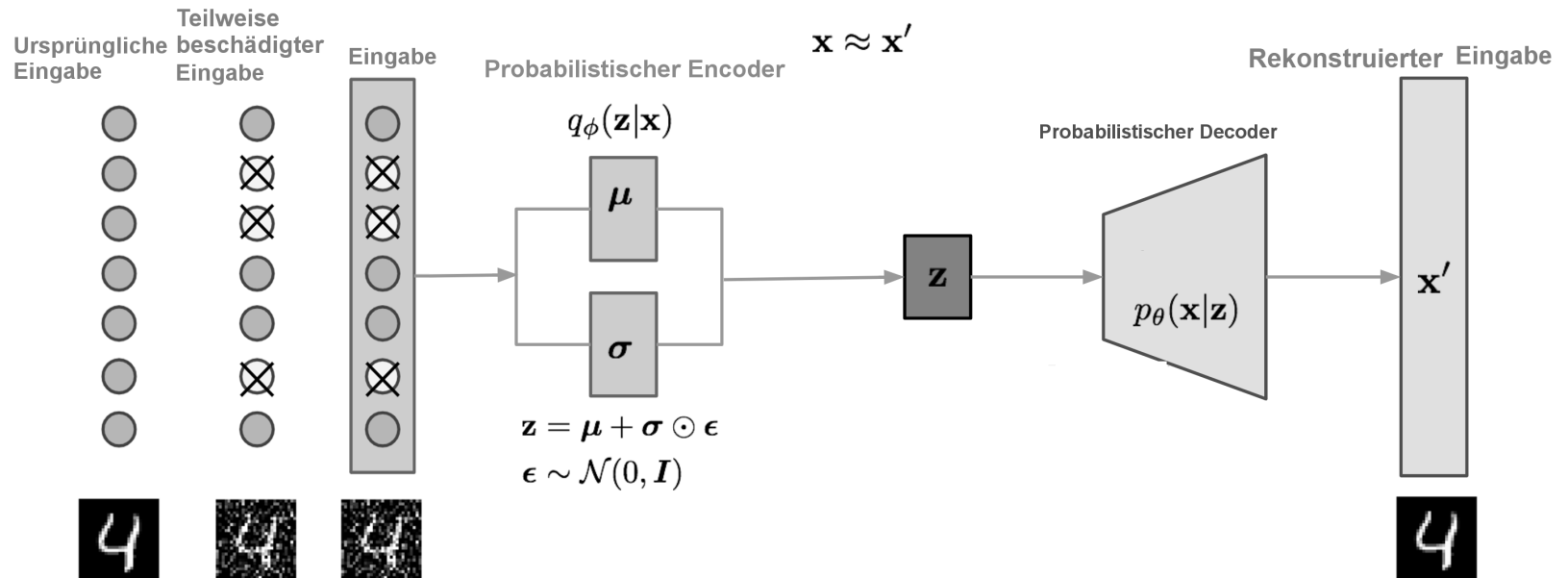
Für jeden Eingangsvektor  $x$  der Dimension  $d$  des kompletten Datensatzes der Länge  $n$  generiert das neuronale Netz eine Rekonstruktion  $x'$  durch:

- **Kodierung der Eingangsdaten** (d.h. verwende die lineare / nicht-lineare Transformation  $g_\phi(\cdot)$ )
- dies liefert eine **komprimierte Kodierung** in der dünnsten Netzwerk-Ebene,  $z$
- **Dekodierung der komprimierten Eingangsdaten** durch Anwendung der linearen / nicht-linearen Transformation  $f_\theta(\cdot)$



# **Denoising Variational Autoencoders (DVAE)**

Das Funktionsprinzip unterscheidet sich vom grundlegenden Autoencoder dahingehend, dass ein gewisses Maß an **Störrauschen** (einer gewissen **Wahrscheinlichkeitsverteilung** folgend) den **Eingangsdaten hinzugefügt wird** und dass die **verborgenen Ebenen** dieses Rauschen **ausgleichen muss** um die Eingangsdaten zu **rekonstruieren** [Im, Bengio et al., 2017, Kingma et al., 2017].



```
In [ ]: # Implement the DVAE
# encoder part
x_noise = Input(shape=(28,28,1))
conv_1 = Conv2D(64,(3, 3), padding='valid',activation='relu')(x_noise)
conv_2 = Conv2D(64,(3, 3), padding='valid',activation='relu')(conv_1)
pool_1 = MaxPooling2D((2, 2))(conv_2)
conv_3 = Conv2D(32,(3, 3), padding='valid',activation='relu')(pool_1)
pool_2 = MaxPooling2D((2, 2))(conv_3)
h=Flatten()(pool_2)
z_mean = Dense(latent_dim)(h)
z_log_var = Dense(latent_dim)(h)
```

```
In [ ]: # Implement the DVAE
# decoder part
# we instantiate these layers separately so as to reuse them later
z=Reshape([1,1,latent_dim])(z)
conv_0T = Conv2DTranspose(128,(1, 1), padding='valid',activation='relu')(z)#1*1
conv_1T = Conv2DTranspose(64,(3, 3), padding='valid',activation='relu')(conv_0T)#3*3
conv_2T = Conv2DTranspose(64,(3, 3), padding='valid',activation='relu')(conv_1T)#5*5
conv_3T = Conv2DTranspose(48,(3, 3), strides=(2, 2),padding='same',activation='relu')(conv_2T)#10*10
conv_4T = Conv2DTranspose(48,(3, 3), padding='valid',activation='relu')(conv_3T)#12*12
conv_5T = Conv2DTranspose(32,(3, 3), strides=(2, 2),padding='same',activation='relu')(conv_4T)#24*24
conv_6T = Conv2DTranspose(16,(3, 3), padding='valid',activation='relu')(conv_5T)#26*26
x_out = Conv2DTranspose(1,(3, 3), padding='valid',activation='sigmoid')(conv_6T)#28*28
```

## DVAE

- DVAE **Verlustfunktion** beinhaltet die Erstellung von Beispielen aus  $z \sim q_\phi(z|x)$ . Dies ist ein **stochastischer Prozess** und eignet sich daher **nicht zur Fehlerrückführung**.
- Die **geschätzte Posteriori-Verteilung**  $q_\phi(z|x)$  approximiert die tatsächliche Verteilung  $p_\theta(z|x)$ .
- Wir können die **Kullback-Leibler Abweichung**,  $D_{KL}$  benutzen um die **Differenz der beiden Verteilungen** zu quantifizieren.

```
In [ ]: # Implement the DVAE  
# reparameterization trick  
def sampling(args):  
    z_mean, z_log_var = args  
    epsilon = K.random_normal(shape=(K.shape(z_mean)[0], latent_dim), mean=0.,  
                               stddev=epsilon_std)  
    return z_mean + K.exp(z_log_var / 2) * epsilon  
  
z = Lambda(sampling, output_shape=(latent_dim,))([z_mean, z_log_var])
```

## DVAE

Durch **Minimierung des Verlusts**, maximieren wir daher die **untere Schranke der Wahrscheinlichkeit (evidence lower bound (ELBO))** zur Generierung echter Daten-Beispiele.

```
In [ ]: # Implement the DVAE
# instantiate model
dvae = Model(x_noise, x_out)
dvae.summary()

# Compute Loss
def DVAE_loss(x_origin, x_out):
    x_origin = K.flatten(x_origin)
    x_out = K.flatten(x_out)
    xent_loss = original_dim * metrics.binary_crossentropy(x_origin, x_out)
    kl_loss = - 0.5 * K.sum(1 + z_log_var - K.square(z_mean) - K.exp(z_log_var), axis=-1
)
    dvae_loss = K.mean(xent_loss + kl_loss)
    return dvae_loss

# compile the model
dvae.compile(optimizer='adam', loss=DVAE_loss)
```

Layer (type)	Output Shape	Param #	Connected to
input_1 (InputLayer)	(None, 28, 28, 1)	0	
conv2d_1 (Conv2D)	(None, 26, 26, 64)	640	input_1[0][0]
conv2d_2 (Conv2D)	(None, 24, 24, 64)	36928	conv2d_1[0][0]
max_pooling2d_1 (MaxPooling2D)	(None, 12, 12, 64)	0	conv2d_2[0][0]
conv2d_3 (Conv2D)	(None, 10, 10, 32)	18464	max_pooling2d_1[0][0]
max_pooling2d_2 (MaxPooling2D)	(None, 5, 5, 32)	0	conv2d_3[0][0]
flatten_1 (Flatten)	(None, 800)	0	max_pooling2d_2[0][0]
dense_1 (Dense)	(None, 8)	6408	flatten_1[0][0]
dense_2 (Dense)	(None, 8)	6408	flatten_1[0][0]
lambda_1 (Lambda)	(None, 8)	0	dense_1[0][0] dense_2[0][0]
reshape_1 (Reshape)	(None, 1, 1, 8)	0	lambda_1[0][0]
conv2d_transpose_1 (Conv2DTrans	(None, 1, 1, 128)	1152	reshape_1[0][0]
conv2d_transpose_2 (Conv2DTrans	(None, 3, 3, 64)	73792	conv2d_transpose_1[0][0]
conv2d_transpose_3 (Conv2DTrans	(None, 5, 5, 64)	36928	conv2d_transpose_2[0][0]
conv2d_transpose_4 (Conv2DTrans	(None, 10, 10, 48)	27696	conv2d_transpose_3[0][0]
conv2d_transpose_5 (Conv2DTrans	(None, 12, 12, 48)	20784	conv2d_transpose_4[0][0]
conv2d_transpose_6 (Conv2DTrans	(None, 24, 24, 32)	13856	conv2d_transpose_5[0][0]
conv2d_transpose_7 (Conv2DTrans	(None, 26, 26, 16)	4624	conv2d_transpose_6[0][0]
conv2d_transpose_8 (Conv2DTrans	(None, 28, 28, 1)	145	conv2d_transpose_7[0][0]
Total params: 247,825			
Trainable params: 247,825			

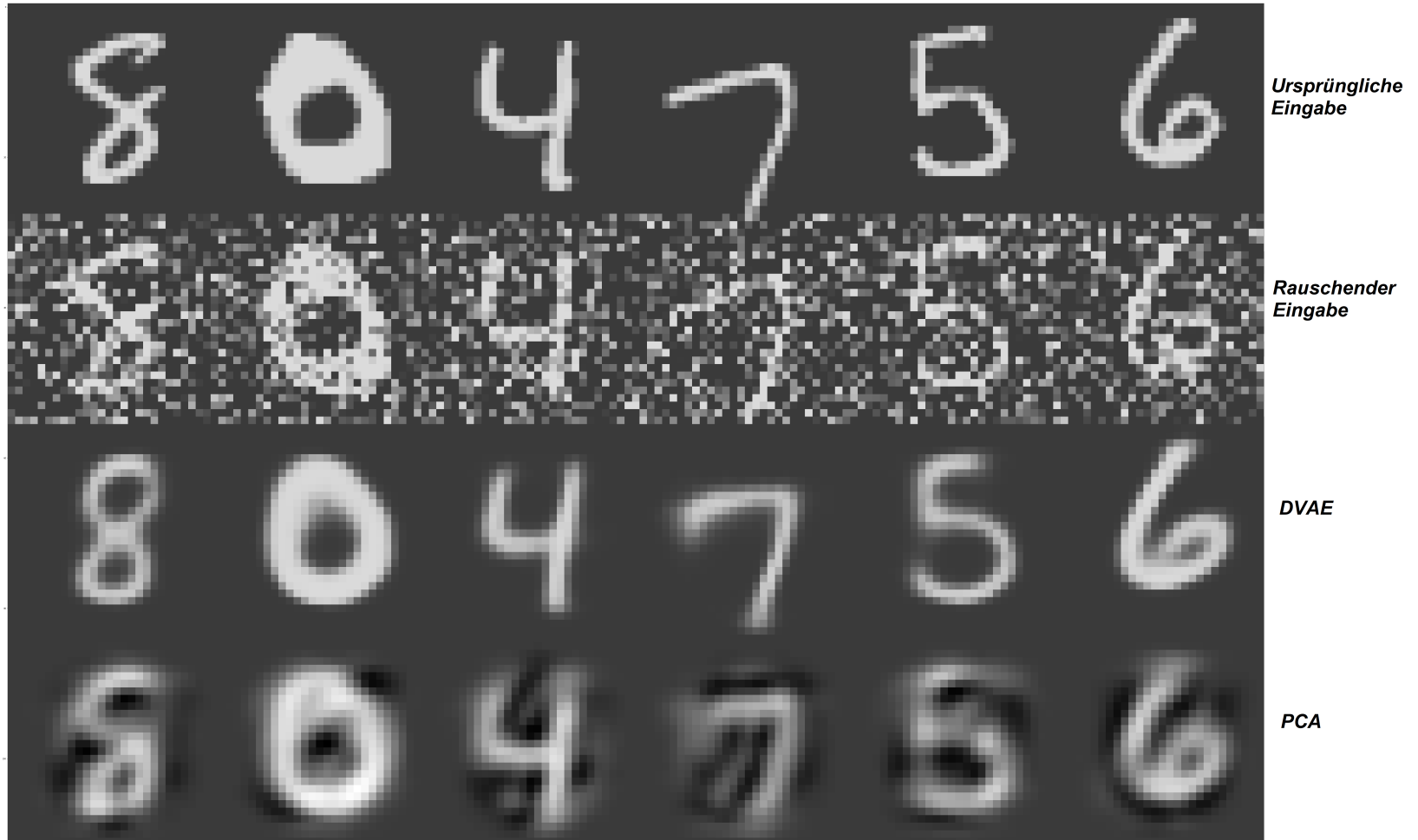
```
In [ ]: # Train the DVAE
dvae.fit(noise_train,x_train, shuffle=True, epochs=epochs, batch_size=batch_size, validation_data=(noise_test, x_test))

# Comparison PCA vs. DVAE
# testing the DVAE
num_test=10000
showidx=np.random.randint(0,num_test,n_images)
x_out=dvae.predict(x_test[showidx])

# prepare data for testing PCA
pcaInputTest = np.reshape(x_test,[shape_x_test[0],shape_x_test[1]*shape_x_test[2])).astype('float32')/255
pcaOutput = analytical_pca(pcaInputTest)
```

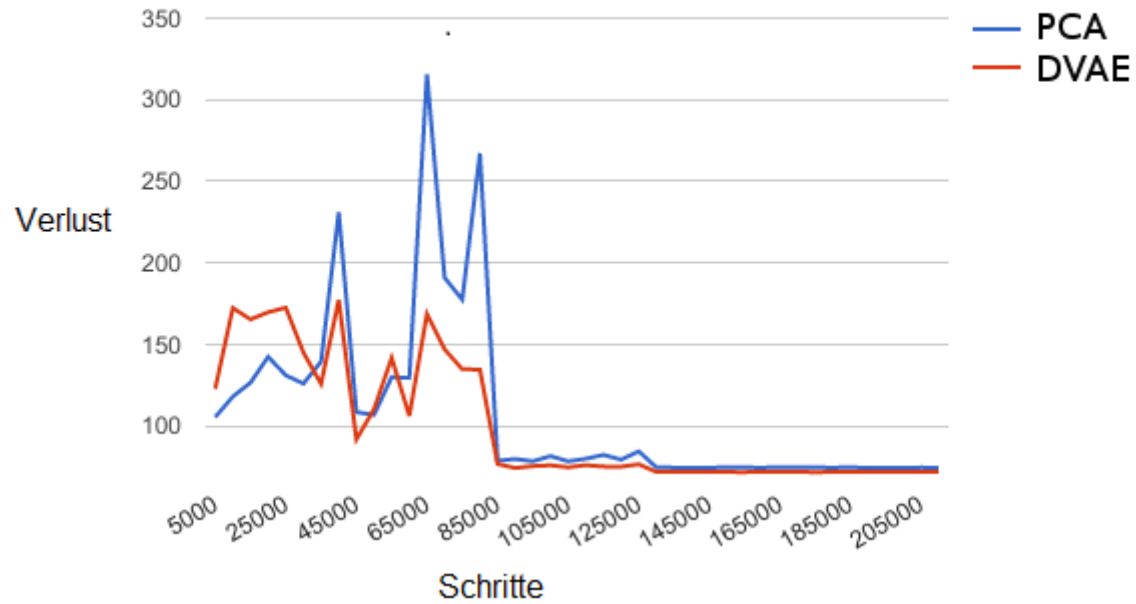
# Vergleich von PCA und DVAE

## Inferenz



# Vergleich von PCA und DVAE

## Kostenfunktion



# Vergleich zwischen PCA und DVAE

## Lernen der Mannigfaltigkeit

PCA	DVAE
Kodierung/Dekodierung, keine Robustheit gegen Rauschen	nicht-linear, probabilistische Kodierung/Dekodierung mit Robustheit gegen Rauschen und nicht-linearen Aktivierungsfunktionen
unkorrelierte Koordinaten	korrelierte Ausgangsdaten an der dünnsten Netzwerkebene
Koordinaten sind in absteigender Reihenfolge der Varianz geordnet	Koordinaten sind ungeordnet
die Spalten der Transformations-Matrix sind orthonormal	die Spalten der Transformations-Matrix sind nicht notwendigerweise orthonormal
Robustheit gegenüber moderatem Rauschen mit bekannten Verteilungen	Robustheit gegen eine Vielzahl verschiedener Arten und Größenordnungen an injiziertem Rauschen (masking noise, Gaussian noise, salt-and-pepper noise), da das Entrauschen entscheidend für die Generalisierung ist
einfacher Algorithmus (ohne Regularisierung), geringe Robustheit	die Punkte in niedrig-dimensionalen Mannigfaltigkeiten sind robust gegen Rauschen im hoch-dimensionalen Beobachtungs-Raum

# Vergleich zwischen PCA und DVAE

## Training

PCA	DVAE
Abbildung der Eingangsdaten auf einen festen Vektor	Abbildung der Eingangsdaten auf eine Wahrscheinlichkeitsverteilung
iterative Methoden: QR Zerlegung, Jacobi Algorithmus, Singulärwertzerlegung	Fehlerrückführung (Backpropagation)
aufgrund der Kovarianz-Berechnung ineffizient bei großen Datenmengen	effizient bei großen Datenmengen aufgrund der starken Fähigkeit des Erlernens der Mannigfaltigkeit
basiert auf der Korrelations-/Kovarianz-Matrix, welche - zumindest in der Theorie - sehr empfindlich gegenüber Ausreißern sein kann	kann Beispiele direkt aus dem Eingangsraum generieren und daher die Eigenschaften des Eingangsraums beschreiben ("reparametrization trick")

# **PCA vs. Autoencoders**

**"Zwei identische Fremde"**

# PCA vs. Autoencoders

- Ein **Autoencoder** mit einer einzelnen **voll verbundenen (fully-connected) versteckten Ebene**, einer **linearen Aktivierungsfunktion** und dem **quadratischen Fehler als Kostenfunktion** ist eng mit der **PCA** verwandt - seine **Gewichten** spannen den **Untervektorraum der Hauptkomponenten** auf [Plaut, 2018]
- Bei **Autoencodern** sorgt die **diagonale Approximation** beim **Kodiervorgang** zusammen mit der **inhärenten Stochastizität** für lokale **Orthogonalität** beim **Dekodieren** [Rolinek et al, 2019]

# Lieraturverzeichnis

[Goodfellow et al., 2016] Ian Goodfellow, Yoshua Bengio and Aaron Courville, Deep Learning, MIT Press, 2016.

[Friedman et al., 2017] Jerome H. Friedman, Robert Tibshirani, and Trevor Hastie, The Elements of Statistical Learning: Data Mining, Inference, and Prediction, Springer, 2017.

[Plaut, 2018] Plaut, E., 2018. From principal subspaces to principal components with linear autoencoders. arXiv preprint arXiv:1804.10253.

[Im, Bengio et al., 2017] Im, D.I.J., Ahn, S., Memisevic, R. and Bengio, Y., 2017, February. Denoising criterion for variational auto-encoding framework. In Thirty-First AAAI Conference on Artificial Intelligence.

[Rolinek et al, 2019] Rolinek, M., Zietlow, D. and Martius, G., 2019. Variational Autoencoders Pursue PCA Directions (by Accident). In Proceedings of the IEEE Conference on Computer Vision and Pattern Recognition (pp. 12406-12415).

[Lei et al., 2018] Lei, N., Luo, Z., Yau, S.T. and Gu, D.X., 2018. Geometric understanding of deep learning. arXiv preprint arXiv:1805.10451.

[Kingma et al., 2013] Kingma, D.P. and Welling, M., 2013. Auto-encoding variational bayes. arXiv preprint arXiv:1312.6114.

## Maximale Varianzkomponenten, Kovarianz und Dekorrelation

- Der erste Ladungs-Vektor ist derjenige Einheitsvektor mit dem das innere Produkt der Beobachtungs-Vektoren die **größte Varianz** aufweisen:

$$\max w_1^T Y_0 Y_0^T w_1, w_1^T w_1 = 1$$

- Die Lösung der vorherigen Gleichung ist der erste Eigenvektor der **Kovarianz-Matrix**  $Y_0 Y_0^T$ , welcher zum größten Eigenwert gehört.
- Die Matrix  $P$  kann durch **Diagonalisierung der Kovarianz-Matrix** berechnet werden:

$$Y_0 Y_0^T = P \Lambda P^{-1} = P \Lambda P^T$$

$\Lambda = Y_0 Y_0^T$  ist eine Diagonal-Matrix, deren Diagonal-Elemente  $\{\lambda_i\}_{i=1}^N$  der Größe nach absteigend sortiert sind.  $Y = P X$  liefert die inverse Transformation. Da die Kovarianz-Matrix von  $X$  diagonal ist, ist die PCA eine **dekorrelierende Transformation**.

## Singulärwert-Zerlegung

### (Singular Value Decomposition, SVD)

Ein Vektor  $v$  der Dimension  $N$  ist ein **Eigenvektor** einer quadratischen  $N \times N$  Matrix  $A$ , wenn diese die folgende **lineare Gleichung** erfüllt

$$Av = \lambda v$$

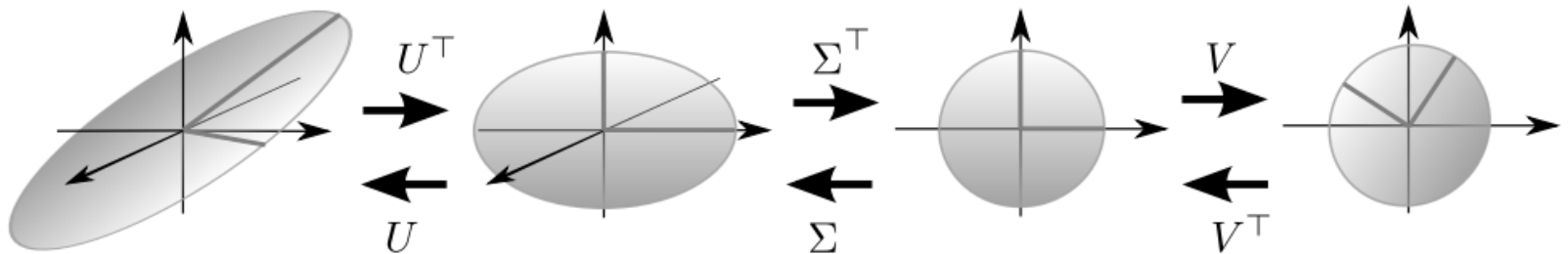
wobei  $\lambda$  ein skalarer Wert ist, welcher als der **zum Eigenvektor  $v$  gehörende Eigenwert** bezeichnet wird.

# Singulärwert-Zerlegung

## (Singular Value Decomposition, SVD)

Die Matrix  $Y_0 \in \mathbb{R}^{n \times N}$  kann faktorisiert werden als  $Y_0 = U \Sigma V^T$ , wobei  $U \in \mathbb{R}^{n \times n}$  und  $V \in \mathbb{R}^{N \times N}$  orthogonale Matrizen sind und  $\Sigma \in \mathbb{R}^{n \times N}$  abgesehen von der Diagonalwerten (den sogenannten **Singulär-Werten**) nur aus Nullen besteht.

Die Singulärwertzerlegung von  $Y_0$  ist äquivalent zur **Eigenwertzerlegung** von  $Y_0 T_0^T$ .



# Vergleich von PCA und DVAE

## Lernen der Mannigfaltigkeit

PCA	DVAE
Kodierung/Dekodierung, keine Robustheit gegen Rauschen	nicht-linear, probabilistische Kodierung/Dekodierung mit Robustheit gegen Rauschen und nicht-linearen Aktivierungsfunktionen
unkorrelierte Koordinaten	korrelierte Ausgangsdaten an der dünnsten Netzwerkebene
Koordinaten sind in absteigender Reihenfolge der Varianz geordnet	Koordinaten sind ungeordnet
die Spalten der Transformations-Matrix sind orthonormal	die Spalten der Transformations-Matrix sind nicht notwendigerweise orthonormal
Robustheit gegenüber moderatem Rauschen mit bekannten Verteilungen	Robustheit gegen eine Vielzahl verschiedener Arten und Größenordnungen an injiziertem Rauschen (masking noise, Gaussian noise, salt-and-pepper noise), da das Entrauschen entscheidend für die Generalisierung ist
einfacher Algorithmus (ohne Regularisierung), geringe Robustheit	die Punkte in niedrig-dimensionalen Mannigfaltigkeiten sind robust gegen Rauschen im hoch-dimensionalen Beobachtungs-Raum

# Vergleich zwischen PCA und DVAE

## Training

PCA	DVAE
Abbildung der Eingangsdaten auf einen festen Vektor	Abbildung der Eingangsdaten auf eine Wahrscheinlichkeitsverteilung
iterative Methoden: QR Zerlegung, Jacobi Algorithmus, Singulärwertzerlegung	Fehlerrückführung (Backpropagation)
aufgrund der Kovarianz-Berechnung ineffizient bei großen Datenmengen	effizient bei großen Datenmengen aufgrund der starken Fähigkeit des Erlernens der Mannigfaltigkeit
basiert auf der Korrelations-/Kovarianz-Matrix, welche - zumindest in der Theorie - sehr empfindlich gegenüber Ausreißern sein kann	kann Beispiele direkt aus dem Eingangsraum generieren und daher die Eigenschaften des Eingangsrauschens beschreiben ("reparametrization trick")